

Peatükk 1

2. osa

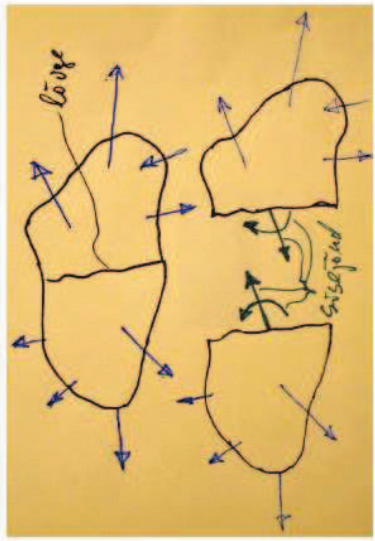
Ülevaade elastsussteooria aluste kursusest

Peatükk 2

Sisejõud ja pinged

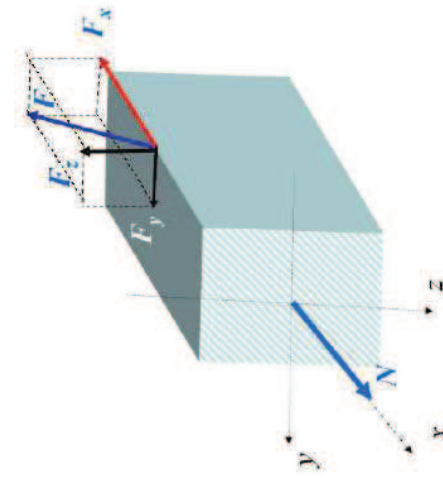
- *Sisejõududeks* nimetatakse jõudusid, millega vaadeldava keha (või keskkonna) punktid (vaadeldavasse süsteemi kuuluvad punktmassid) mõjutavad üksteist.
 - *Välisjõududeks* nimetatakse jõudusid, millega teised kehad, keskkonnad ja punktmassid mõjutavad vaadeldavat keha (keskkonda).
- Välisjõud jagunevad pind- ja ruumjõududeks.
- *Pind- ehk kontaktjõud* mõjuvad vaadeldavale kehale läbi välispinna. Näiteks hüdrostaatilime surve.
 - *Mahu- ehk massjõud* mõjuvad igale vaadeldavat keha moodustavale punkt-massile. Näiteks gravitatsioonijõund.

2.2 Sisejõud ja lõikemeetod

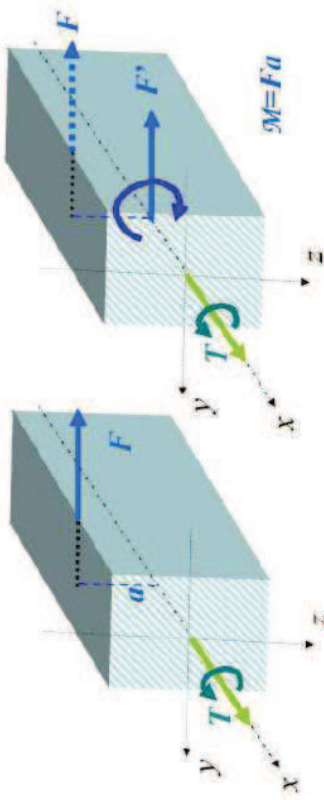


Joonis 2.1: Lõikemeetod ja sisejõud: lõikepinnal on kujutatud sisejõudude peavektori ja peamõment.

2.3 Sisejõudude liigid

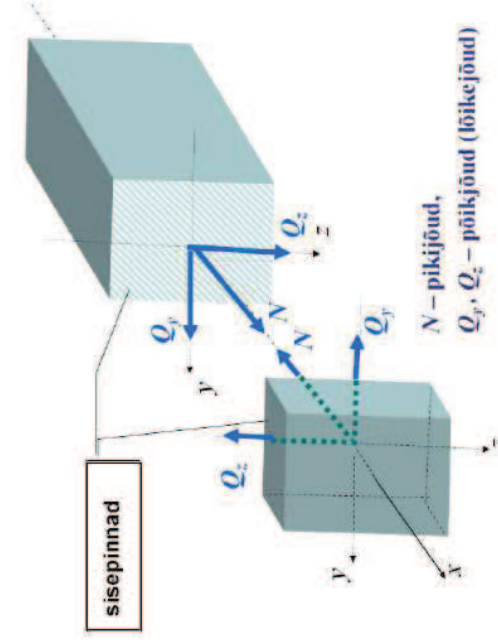


Joonis 2.2: Pikkjõud
(Joonis on pärit prof. A. Klaustoni *Tehnilise mehaanika* loengukonspektist.)

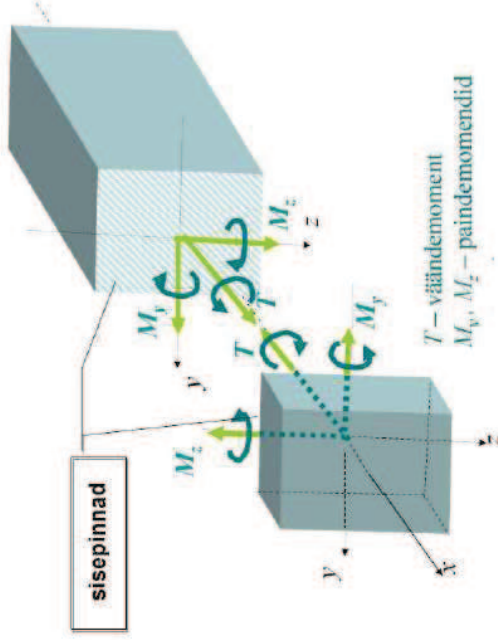


Taandades välsjõu F varda x -teljele saame välsjõu F' ja
pöördemomendi \mathcal{M} .

Joonis 2.3: Väändmoment
(Joonis on pärit prof. A. Klausoni *Tehnilise mehaanika* loengukonspektist.)



Joonis 2.6: Sisejõundude liigid ja positiivsed summad — piki- ja pöikjöond 3D juhul.
(Joonis on pärit prof. A. Klausoni *Tehnilise mehaanika* loengukonspektist.)

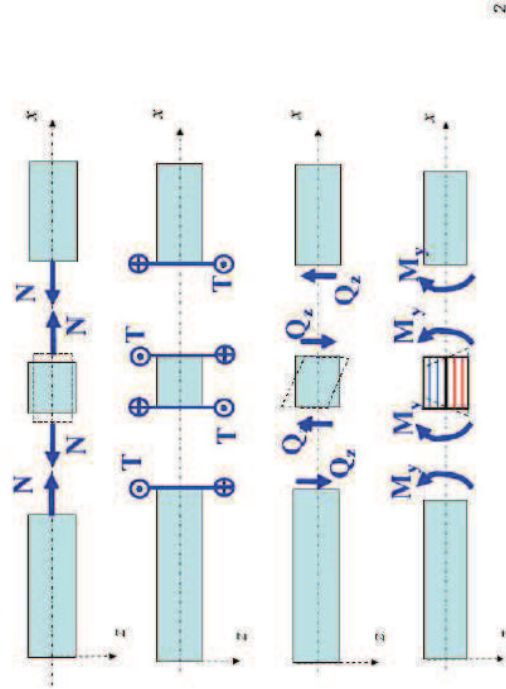


Joonis 2.7: Sisejõudude liigid ja positiivsed summad – väändide- ja paindemomentid 3D juhul. NB!
 M_z on siin negatiivne, teised positiivsed.

(Joonis on pärit prof. A. Klausoni *Tehnilise mehaanika loengukonspektist.*)

2.4 Sisejõudude märgireeglid

Varda sisejõu märgireeglid (sisejõudude positiivsed suunad).



Joonis 2.8: Sisejõudude märgireeglid.
 (Joonis on pärit prof. A. Klausoni *Tehnilise mehaanika loengukonspektist.*)

- *Positiivne pikjoud* vastab varda tõmbele ja negatiivne pikjoud survele.
 - Positiivne pikjoud mõjub positiivsel sisepinnal telje positiivses suunas.
- *Väändemomendi positiivne suund* on määratud kruvireegliga: positiivsel sisepinnal mõjuv väändemoment on positiivne kui väändemondi suunas pöörates, hakkab kruvi liikuma telje positiivses suunas ning negatiivsel sisepinnal telje negatiivses suunas.

- *Positiivne pöikjoud* Q_z mõjub positiivsel sisepinnal z-telje positiivses suunas ja negatiivsel sisepinnal z-telje negatiivses suunas.

- Analoogilise märgireegel kehtib ka pöikjou Q_y jaoks.
- Tasapinnalise juhu jaoks on kasutusel ka nn. tööreegel: Positiivne pöikjoud pöörab talaosa päripäeva (vt. joon. 2.8).
- *Positiivne paindemoment* tekib tõmbे tala positiivsetes kindudes.
- Käesolevas kursuses kasutatakse telgede orientatsiooni korral pole paindemomendi märgireeglit mitte midagi ühist jõu momendi juures kasutatava märgireegliga.

Märkus: Piki- ja pöikjou märgireeglite osas on erinevad autorid väga üksmeelised, kuid painde- ja eriti väändemomentide puhul on võimalikud vägagi erinevad lähenemisviisid.

2.5 Diferentsiaal- ja integraalseosed lauskoormuse intensiivsuse ja sisejõudude vahel

Pärast lihtsustamist, diferentsiaaliga dx läbijagamist, ning viimasest võrrandist kõrgemat jätku vaikese liikme hulgamist, saame kohm diferentsiaalseost:

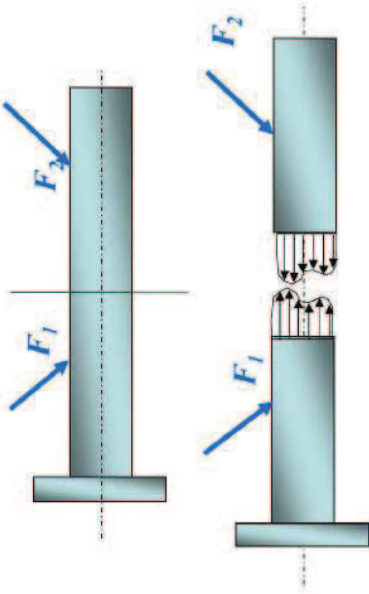
$$\frac{dN}{dx} = -p_x, \quad \frac{dQ_z}{dx} = -p_z, \quad \frac{dM_y}{dx} = Q_z. \quad (2.1)$$

Integraalseoste saamiseks korrutame viimaseid diferentsiaaliga dx ning integreerime lõigul $[a, x]$:

$$\begin{aligned} N(x) &= N(a) - \int_a^x p_x(x) dx, \\ Q_z(x) &= Q_z(a) - \int_a^x p_z(x) dx, \\ M_y(x) &= M_y(a) + \int_a^x Q_z(x) dx. \end{aligned} \quad (2.2)$$

2.6 Pinge mõiste

On lihtne taibata, et eelmistes alajaotustes käsitletud lõikemeetodi korral on si-sejõnd tegelikult jaotunud üle kogu lõikepinna (joon. 2.10) ja vaadeldud kuus sisejõudu kujutavad endast selle lauskoormuse peavektori ja peamomendi projektsioone koordinaattelgedel.



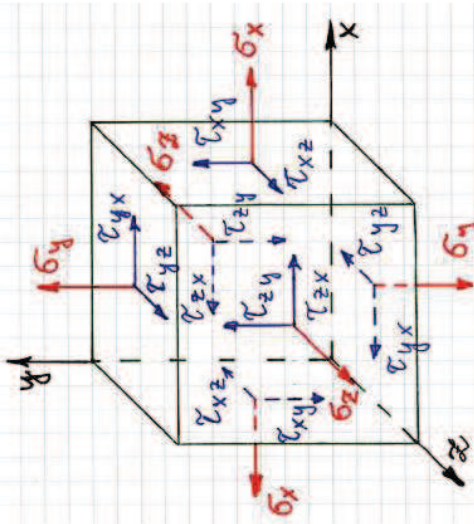
Joonis 2.10: Lõikemeetod ja pinged varda riistlõikes

(Joonis on pärit prof. A. Klausoni *Tehnilise mehaanika loengukonspektist.*)

2.7 Pingevektor, tema projektsioonid ja märgireeglid

Märgireeglid: joonis 2.14.

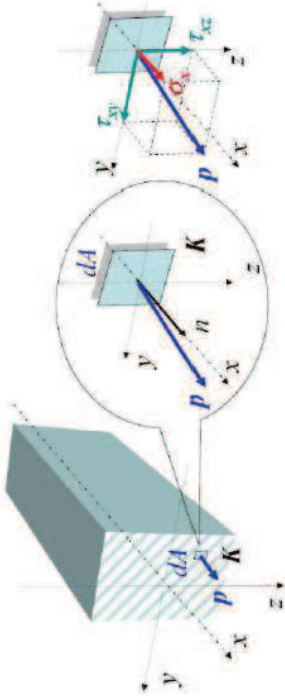
- *Positiivne sisepind* on lõike pind, mille välisnormaal on suunatud koordinaadi positiivses suunas.
- *Positiivne normaalpinge* mõjuab positiivsel sisepinnal koordinaattele positiivses suunas suunas ja negatiivsel sisepinnal koordinaadi negatiivses suunas. Positiivne normaalpinge vastab tõmbele.
- *Positiivne nihkepinge* mõjuab positiivsel sisepinnal koordinaattele positiivses suunas ja negatiivsel sisepinnal koordinaadi negatiivses suunas.



Joonis 2.14: Normaal- ja nihkepingete positiivsed summad.

2.8 Pinged varda ristlõike punktis.

Pinged varda ristlõike punktis.



Joonis 2.15. Pinge varda punktis
(Joonis on pärit prof. A. Klausoni *Tehnilise mehaanika* loengukonspektist.)

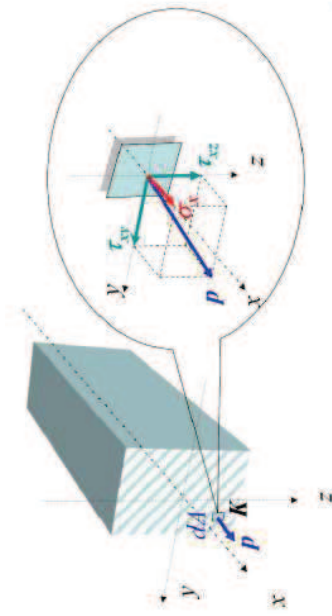
2.9 Seosed pingete ja varda sisejõudude vahel

$$N = \int_A \sigma_x dA. \quad (2.5)$$

$$Q_y = \int_A \tau_{xy} dA, \quad Q_z = \int_A \tau_{xz} dA. \quad (2.6)$$

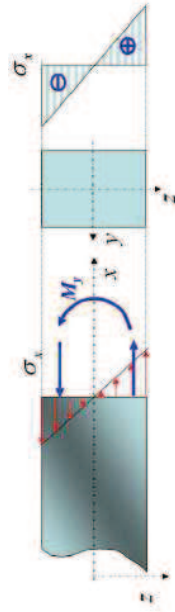
$$M_y = \int_A z \sigma_x dA \quad \text{ja} \quad M_z = \int_A y \sigma_x dA. \quad (2.7)$$

$$T = \int_A (y \tau_{xz} - z \tau_{xy}) dA. \quad (2.8)$$



$$\sigma_x = \frac{N}{A}. \quad (2.9)$$

$$\sigma_x = \frac{M_y z}{I_y}, \quad (2.12)$$

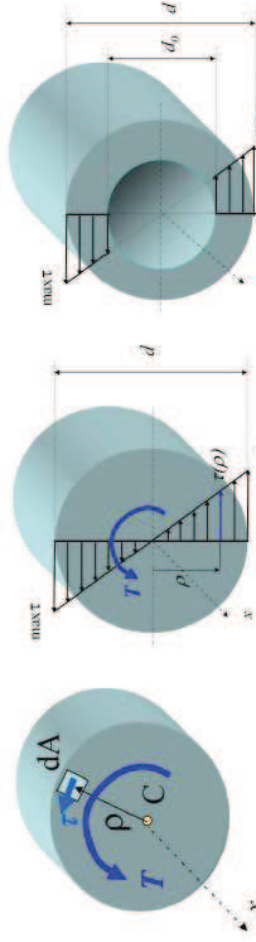


Väände- ja lõikepinged.

Väändepinge on pöhjustatud väändemomendist ja lõikepinge pöikjöüst. Oma olemuselt on nad mõlemad nihkepinged ning kuna nende leidmine on tihti kompliitseirum kui pikijöust ja paindemomendist pöhjustatud normaalpingete leidmine, siis pühendame neile omaette jaotise.

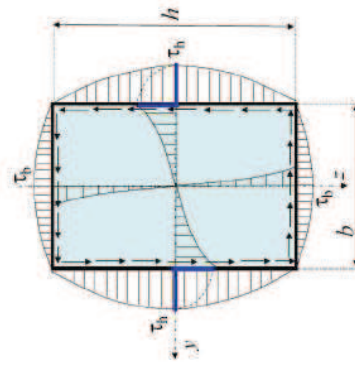
2.10 Nihkepinged varda ristlõikes

$$\tau = \frac{T}{I_p} \rho, \quad \tau_{\max} = \frac{T d}{I_p 2}. \quad (2.20)$$



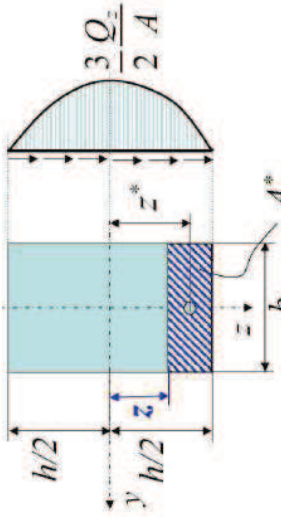
Joonis 2.24: Väändepinged ümarvardas ja paksuseinalises tornis.

$$\tau_{\max} \equiv \tau_h = \frac{T}{W_t}, \quad W_t = k_h h b^2, \quad \tau_b = k_b \tau_h. \quad (2.24)$$



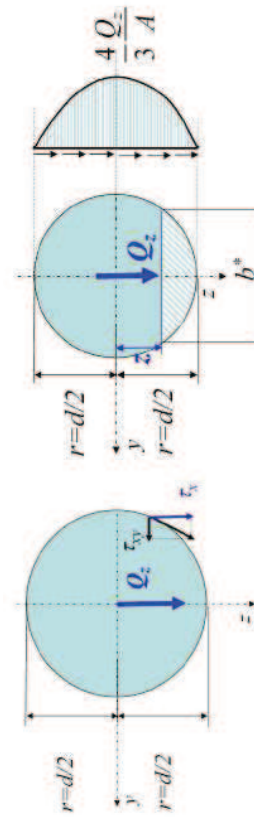
h/b	1	1.2	1.5	2	3	5	10	∞
k_h	0,208	0,219	0,231	0,246	0,267	0,291	0,312	0,333
k_b	1,00	0,93	0,86	0,79	0,75	0,74	0,74	0,74

Joonis 2.28: Väändepinged ristkülikulise ristlõikega varda.



Joonis 2.37: Löikepinged ristkülikulises ristlõikes

$$\tau_{xz} = \frac{3Q_z}{2A} \left(1 - \frac{4z^2}{h^2} \right), \quad \max \tau_{xz} = \frac{3Q_z}{2A}. \quad (2.37)$$



Joonis 2.38: Löikepinged ümarristlõikes

$$\tau_{xz} = \frac{4Q_z}{3A} \left(1 - \frac{z^2}{r^2} \right), \quad \max \tau_{xz} = \frac{4Q_z}{3A}. \quad (2.38)$$

2.11 Pingetensor

Vaatleme keha meelevälset punkti. Seda punkti läbib kolm koordinaattasandit, millel mõjuvad kolm normaalpinget $\sigma_x, \sigma_y, \sigma_z$ ja kuus nihkepinget $\tau_{xy} = \tau_{yx}, \tau_{yz} = \tau_{zy}, \tau_{xz} = \tau_{zx}$ moodustavad *pingetensori*

$$\begin{bmatrix} \sigma_x & \tau_{xy} & \tau_{xz} \\ \tau_{yx} & \sigma_y & \tau_{yz} \\ \tau_{zx} & \tau_{zy} & \sigma_z \end{bmatrix}. \quad (2.39)$$

Pingetensor on *teist jäärku tensor* ja teda saab esitada 3×3 (tasanddülesannete korral 2×2) tabelina nagu matriksid. Pingetensor iseloomustab täielikult pingust (pingeseisundit) antud punktis ning tema abil saab määraata pingevektori suvalisel seda punkti läbival pinnal¹⁵.

Teist jäärku tensor on füüsikaline suurus, mille korral peale arväärtuste on tähtsad kaks suunda.

2.11.2 Pingetensori invariantid

$$\left\{ \begin{array}{l} I_1^\sigma = \sigma_x + \sigma_y + \sigma_z, \\ I_2^\sigma = \begin{vmatrix} \sigma_x & \tau_{xy} \\ \tau_{xy} & \sigma_y \end{vmatrix} + \begin{vmatrix} \sigma_y & \tau_{yz} \\ \tau_{yz} & \sigma_z \end{vmatrix} + \begin{vmatrix} \sigma_x & \tau_{xz} \\ \tau_{xz} & \sigma_z \end{vmatrix}, \\ I_3^\sigma = \begin{vmatrix} \sigma_x & \tau_{yx} & \tau_{zx} \\ \tau_{xy} & \sigma_y & \tau_{zy} \\ \tau_{xz} & \tau_{yz} & \sigma_z \end{vmatrix} \end{array} \right. \quad (2.40)$$

Taolised kolm invarianti saab leida igale teist jäärku tensorile.

Peatükk 3

Deformatsioon ja olekuvõrrandid

3.1 Siire ja deformatsioon

3.1.1 Cauchy seosed

Eristame kahte liiki siirdeid:

- keha kui terviku siirded (toimuvad ilma deformatsioonideta) — selliste siirdega tegeleb jäiga keha mehaanika²;
- siirded, mis on seotud keha deformatsiooniga — käesolevas kursuses vaadel-dakse just selliseid siirdeid.

Siirdevektori koordinaattelgede x, y, z sihilisi komponente tähistatakse u, v, w , st.,

$$u = x' - x, \quad v = y' - y, \quad w = z' - z. \quad (3.1)$$

$$\begin{cases} \varepsilon_x = \frac{\partial u}{\partial x}, & \varepsilon_y = \frac{\partial v}{\partial y}, \\ \varepsilon_z = \frac{\partial w}{\partial z}, & \end{cases} \quad (3.6)$$

$$\gamma_{xy} = \frac{\partial u}{\partial y} + \frac{\partial v}{\partial x}, \quad \gamma_{yz} = \frac{\partial v}{\partial z} + \frac{\partial w}{\partial y}, \quad \gamma_{xz} = \frac{\partial u}{\partial z} + \frac{\partial w}{\partial x}.$$

Saadud seoseid nimetatakse tihti *Cauchy võrranditeks* või *Cauchy seosteks*.

Märgireeglid:

- pikemisele vastav normaaldeformatsioon on positiivne;
- koordinaattelgede positiivsete suundade vahelisele täisnurga vähenemisele vastav nihe on positiivne.

Järeldus: Positiivsed pinged põhjustavad positiivseid deformatsioone.

3.2 Deformatsioonitensor

Normaal- ja nihkedeformatsioonidest (ehk nihetest) saab moodustada deformatsioonitensori

$$E = \begin{bmatrix} \varepsilon_x & \frac{1}{2}\gamma_{xy} & \frac{1}{2}\gamma_{xz} \\ \frac{1}{2}\gamma_{yx} & \varepsilon_y & \frac{1}{2}\gamma_{yz} \\ \frac{1}{2}\gamma_{zx} & \frac{1}{2}\gamma_{zy} & \varepsilon_z \end{bmatrix}. \quad (3.14)$$

Erievalt pingetensorist on siin nihete kordajaks 0,5. Ilma selliste kordajateta ei allluks deformatsioonitensor tensorarvutuse reeglitele. Analoogiliselt pingetenosriga saab leida ka deformatsioonitensori invariantid:

$$\left\{ \begin{array}{l} I_1^e = \varepsilon_x + \varepsilon_y + \varepsilon_z, \\ I_2^e = \left| \begin{array}{cc} \varepsilon_x & \frac{1}{2}\gamma_{xy} \\ \frac{1}{2}\gamma_{xy} & \varepsilon_y \end{array} \right| + \left| \begin{array}{cc} \varepsilon_y & \frac{1}{2}\gamma_{yz} \\ \frac{1}{2}\gamma_{yz} & \varepsilon_z \end{array} \right| + \left| \begin{array}{cc} \varepsilon_x & \frac{1}{2}\gamma_{xz} \\ \frac{1}{2}\gamma_{xz} & \varepsilon_z \end{array} \right|, \\ I_3^e = \left| \begin{array}{ccc} \varepsilon_x & \frac{1}{2}\gamma_{yx} & \frac{1}{2}\gamma_{zx} \\ \frac{1}{2}\gamma_{xy} & \varepsilon_y & \frac{1}{2}\gamma_{yz} \\ \frac{1}{2}\gamma_{xz} & \frac{1}{2}\gamma_{yz} & \varepsilon_z \end{array} \right|. \end{array} \right. \quad (3.15)$$

Erievalt pingetensorist on siin nihete kordajaks 0,5. Ilma selliste kordajateta ei allluks deformatsioonitensor tensorarvutuse reeglitele. Analoogiliselt pingetenosriga saab leida ka deformatsioonitensori invariantid:

3.3 Ruumdeformatsioon ehk suhteline mahumuuatus

$$\theta = \frac{dV_1 - dV}{dV} = \varepsilon_x + \varepsilon_y + \varepsilon_z. \quad (3.16)$$

3.4 Pidevustinguimused

$$\left\{ \begin{array}{l} \frac{\partial^2 \varepsilon_x}{\partial y^2} + \frac{\partial^2 \varepsilon_y}{\partial x^2} = \frac{\partial^2 \gamma_{xy}}{\partial x \partial y}, \\ \frac{\partial^2 \varepsilon_y}{\partial z^2} + \frac{\partial^2 \varepsilon_z}{\partial y^2} = \frac{\partial^2 \gamma_{yz}}{\partial y \partial z}, \\ \frac{\partial^2 \varepsilon_z}{\partial x^2} + \frac{\partial^2 \varepsilon_x}{\partial z^2} = \frac{\partial^2 \gamma_{xz}}{\partial x \partial z}, \\ \frac{\partial}{\partial x} \left(\frac{\partial \gamma_{xz}}{\partial y} + \frac{\partial \gamma_{xy}}{\partial z} - \frac{\partial \gamma_{yz}}{\partial x} \right) = 2 \frac{\partial^2 \varepsilon_x}{\partial y \partial z}, \\ \frac{\partial}{\partial y} \left(\frac{\partial \gamma_{xy}}{\partial z} + \frac{\partial \gamma_{yz}}{\partial x} - \frac{\partial \gamma_{xz}}{\partial y} \right) = 2 \frac{\partial^2 \varepsilon_y}{\partial x \partial z}, \\ \frac{\partial}{\partial z} \left(\frac{\partial \gamma_{yz}}{\partial x} + \frac{\partial \gamma_{xz}}{\partial y} - \frac{\partial \gamma_{xy}}{\partial z} \right) = 2 \frac{\partial^2 \varepsilon_z}{\partial x \partial y} \end{array} \right. \quad (3.19)$$

3.5 Üldistatud Hooke'i seadus

- Võrrandeid, mis seovad omavahel deformatsioonid ja pinged, nimetatakse olekuvõrranditeks.

Kokku saame kuus võrrandit, mis esitavad üldistatud Hooke'i seadust isotroopse ideaalselt elastse keha jaoks:

$$\begin{cases} \varepsilon_x = \frac{1}{E} [\sigma_x - \nu(\sigma_y + \sigma_z)], \\ \varepsilon_y = \frac{1}{E} [\sigma_y - \nu(\sigma_z + \sigma_x)], \\ \varepsilon_z = \frac{1}{E} [\sigma_z - \nu(\sigma_x + \sigma_y)], \end{cases} \quad \begin{cases} \gamma_{xy} = \frac{1}{G} \tau_{xy}, \\ \gamma_{yz} = \frac{1}{G} \tau_{yz}, \\ \gamma_{zx} = \frac{1}{G} \tau_{zx}. \end{cases} \quad (3.23)$$

Tuues sisse Lamé koefitsiendid⁹

$$\lambda = \frac{E\nu}{(1+\nu)(1-2\nu)}, \quad \mu = \frac{E}{2(1+\nu)} = G, \quad (3.30)$$

$$\begin{cases} \sigma_x = \lambda\theta + 2\mu\varepsilon_x, & \tau_{xy} = \mu\gamma_{xy}, \\ \sigma_y = \lambda\theta + 2\mu\varepsilon_y, & \tau_{yz} = \mu\gamma_{yz}, \\ \sigma_z = \lambda\theta + 2\mu\varepsilon_z, & \tau_{zx} = \mu\gamma_{zx}. \end{cases} \quad (3.31)$$

3.6 Deformatsiooni potentsiaalne energia

Potentsiaalse energiaga tihedus

$$W = \frac{1}{2} [\lambda\theta^2 + 2\mu (\varepsilon_x^2 + \varepsilon_y^2 + \varepsilon_z^2) + \mu (\gamma_{xy}^2 + \gamma_{yz}^2 + \gamma_{zx}^2)]. \quad (3.44)$$

Kasutades taas Hooke'i seadust kujul (3.31) saame Clapeyroni valemi

$$W = \frac{1}{2} (\sigma_x \varepsilon_x + \sigma_y \varepsilon_y + \sigma_z \varepsilon_z + \tau_{xy} \gamma_{xy} + \tau_{yz} \gamma_{yz} + \tau_{zx} \gamma_{zx}). \quad (3.45)$$

Viimast saab omakorda avaldada W läbi pingete ja elastuskonstantide E ja ν kui kasutada Hooke'i seadust kujul (3.23)

$$W = \frac{1}{2E} [\sigma_x^2 + \sigma_y^2 + \sigma_z^2 - 2\nu (\sigma_x \sigma_y + \sigma_y \sigma_z + \sigma_x \sigma_z) + 2(1+\nu) (\tau_{xy}^2 + \tau_{yz}^2 + \tau_{zx}^2)]. \quad (3.46)$$

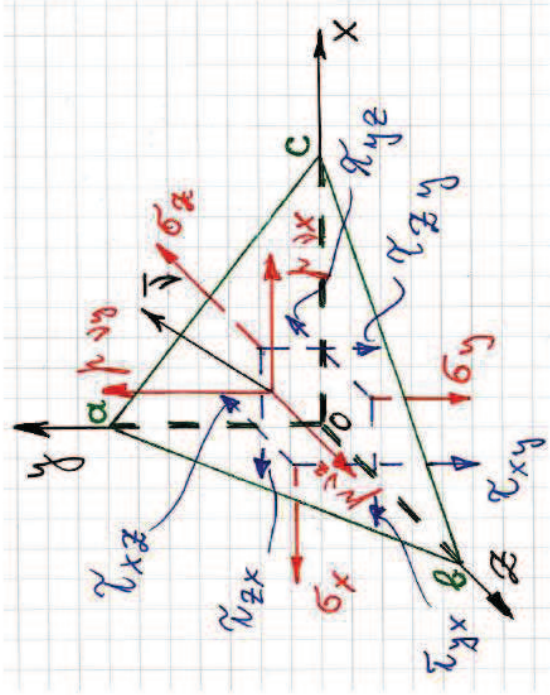
Rakendes Clapeyroni valemit avaldub summaarne potentsiaalne energia kujul

$$W = \frac{1}{2} \iiint_V (\sigma_x \varepsilon_x + \sigma_y \varepsilon_y + \sigma_z \varepsilon_z + \tau_{xy} \gamma_{xy} + \tau_{yz} \gamma_{yz} + \tau_{zx} \gamma_{zx}) dx dy dz. \quad (3.50)$$

Peatükk 4

Peapinged ja peadeformatsioonid

4.1 Pinged kaldpinnal



Joonis 4.1: Pinged kaldpinnal. Kaldpimal normalaliga ν mõjuv pingevektör p_ν on esitatud läbi tema projektsioonide $p_{\nu x}$, $p_{\nu y}$ ja $p_{\nu z}$.

$$\begin{cases} p_{\nu x} = \sigma_x l + \tau_{yx} m + \tau_{zx} n, \\ p_{\nu y} = \tau_{xy} l + \sigma_y m + \tau_{zy} n, \\ p_{\nu z} = \tau_{xz} l + \tau_{yz} m + \sigma_z n. \end{cases} \quad (4.5)$$

4.2 Peapinged

$$\sigma_\nu = p_\nu \cdot \nu = p_{\nu x} l + p_{\nu y} m + p_{\nu z} n. \quad (4.7)$$

$$\tau_\nu^2 = p_\nu^2 - \sigma_\nu^2. \quad (4.8)$$

On selge, et nii p_ν , kui σ_ν ja τ_ν sõltuvad pinna orientatsioonist. Saab näidata, et igas punktis leidub vähemalt kolm omavahel ristuvat pinda, millel nihkepinge $\tau_\nu = 0$ ja normaalpinge $\sigma_\nu = p_\nu$. Selliseid pindasid nimetatakse **peapindadeks**, neil pindadel mõjuvaid normaalpingeid **peapingeteks** ja neid pindu määravaid pinanormale **peasundadeks**.

$$\sigma_1 \geq \sigma_2 \geq \sigma_3$$

Pinguste liigid. Sõltuvalt sellest, mitu peapinget on nullist erinevad, eristatakse kolme pinguse liiki:

- **ruumipingus** – kõik kolm peapinget on nullist erinevad;
- **tasandpingus** – üks peapinge on null, kaks nullist erinevad;
- **joonpingus** – kaks peapinget on nullid, üks nullist erinev.

Kasutades peapingeid saame pinge invariantid kujul

$$\begin{cases} I_1^\sigma = \sigma_1 + \sigma_2 + \sigma_3, \\ I_2^\sigma = \sigma_1\sigma_2 + \sigma_2\sigma_3 + \sigma_1\sigma_3, \\ I_3^\sigma = \sigma_1\sigma_2\sigma_3. \end{cases} \quad (4.14)$$

- Kuna invariantid on sõltumatud koordinaatide valikust, tuleb neid vaadelda kui põhilisi surusí, mis iseloomustavad pinget vaadeldavas punktis — kõik pingekomponendid on määratavad läbi invariantide.

4.3 Peadeformatsioonid

Peasundi ja peaväärusti saab leida mistahes teist järgku tensoritele. Kuna deformatsioonitensor ja pingetensor on summeetrilised tensorid, siis on peadeformatsioonide leidmise protseduur analoogiline peapingete omaga. Antud juhul saame seega deformatsioonitensorile

$$\begin{bmatrix} \varepsilon_x & \frac{1}{2}\gamma_{xy} & \frac{1}{2}\gamma_{xz} \\ \frac{1}{2}\gamma_{yx} & \varepsilon_y & \frac{1}{2}\gamma_{yz} \\ \frac{1}{2}\gamma_{zx} & \frac{1}{2}\gamma_{zy} & \varepsilon_z \end{bmatrix} \quad (4.20)$$

anda kuiju

$$\begin{bmatrix} \varepsilon_1 & 0 & 0 \\ 0 & \varepsilon_2 & 0 \\ 0 & 0 & \varepsilon_3 \end{bmatrix}, \quad (4.21)$$

misjärel deformatsioonitensorsi invariantid

$$I_1^\varepsilon = \varepsilon_1 + \varepsilon_2 + \varepsilon_3, \quad I_2^\varepsilon = \varepsilon_1\varepsilon_2 + \varepsilon_2\varepsilon_3 + \varepsilon_1\varepsilon_3, \quad I_3^\varepsilon = \varepsilon_1\varepsilon_2\varepsilon_3. \quad (4.22)$$

Peatükk 5

Elastsussteooria põhivõrrandid, nende lahenodusmeetodid ja lihtsamad ruumilised ülesanded

5.1 Tasakaalu diferentsiaalvõrrandid

$$\begin{cases} \frac{\partial \sigma_x}{\partial x} + \frac{\partial \tau_{yx}}{\partial y} + \frac{\partial \tau_{zx}}{\partial z} + X = 0, \\ \frac{\partial \tau_{xy}}{\partial x} + \frac{\partial \sigma_y}{\partial y} + \frac{\partial \tau_{zy}}{\partial z} + Y = 0, \\ \frac{\partial \tau_{xz}}{\partial x} + \frac{\partial \tau_{yz}}{\partial y} + \frac{\partial \sigma_z}{\partial z} + Z = 0. \end{cases} \quad (5.5)$$

Saadud võrrandid ongi *elastse keha tasakaalu (diferentsiaal) võrrandid*. Kui mahjoudude projektsioonid sisaldavad inertsjöödusid, saab viimste abil lahendada ka dünaamika ülesandeid.

5.2 Elastsussteooria põhivõrrandid

1. *Tasakaalu (diferentsiaal) võrrandid (5.5) (3 võrrandit):*
2. *Cauchy seosed (3.6) (6 võrrandit):*
3. *Üldistatud Hooke'i seadus (6 võrrandit) nn. otsesel kujul (3.23):*

Võrrandeid kokku 15.

Tundmatud kokku 15; 6 pingetensori komponenti + 6 deformatsioonitensori komponenti + 3 siirdevektori komponenti.

Rajatingimused ehk ääretingimused ehk servatingimused

Pidevustsingimused. Kui põhimuutujateks on valitud deformatsioonid või pinged, siis on tarvis arvestada ka pidevustingimusi (3.19):

5.3 Elastsusteooria ülesannete lahendusmeetodid

Elastsusteooria põhivõrrandeid võib lahendada mitmel erineval mõel, sõltuvalt sellest millised sururused on valitud põhimuutujateks.

1. *Lahendamine siirteites* — tundmatuteks on valitud siirdevektori komponendid $u(x, y, z), v(x, y, z)$ ja $w(x, y, z)$.
2. *Lahendamine pingetes* — tundmatuteks on valitud pingetensori komponendid $\sigma_x(x, y, z), \dots, \tau_{xy}(x, y, z), \dots$
3. *Lahendamine deformatsioonides* — tundmatuteks on valitud deformatsioonitensori komponendid $\varepsilon_x(x, y, z), \dots, \gamma_{xy}(x, y, z), \dots$
4. *Nn. segalahendi leidmine* — eelmise kohme kombinatsioonid.

5.3.1 Elastsusteooria ülesannete lahendamine süretes

Otsitavad: siirdekomponendid $u(x, y, z), v(x, y, z)$ ja $w(x, y, z)$.

5.3.2 Elastsusteooria ülesande lahendamine pingetes konstantsete mahujöuduude korral

Otsitavad: 6 pingetensori komponenti.

5.4 Lihtsamad ruumilised ülesanded

Käesolevas alajaotuses *vaatleme mõningate lihtsamate elastsusteooria ülesannete lahendamist pingetes*.

- Vaadeldavate ülesannete *lihtsus* seisneb eeskätt selles, et *pingekomponendid on konstantsed* või *lineaarfunktsioonid koordinaatides* (x, y, z) .
- *Vaatleme elementaarteooriast*, st. tugevusõpetusest (tehnilisest mehaanikast), *tundud lahendeid ja näitame, et nad rahuldavad elastsusteooria tasakaaluvõrandeid* (5.9) ja *rajatingimusi* (5.13).

5.4.1 Konstantse ristlõikega ümarvarraste väärne

5.4.2 Prismatiliste varraste puhas paine

5.4.3 Plaadi puhas paine

5.4.5 Varda tömme omakaalu möju

Peatükk 6

Elastsusteooria tasandülesanne

6.1 Tasandülesande mõiste

Elastsusteooria ülesannet nimetatakse **tasandülesandeks** (ehk tasapinnaliseks ülesandeks) kui deformatsioon või pinge on kogu keha ulatuses tasapinnaline.

6.2 Tasanddeformatsioon

Vaadeldaval juhul on kõigis keha punktides deformatsioon tasapinnaline, st. üks peadeformatsioonidest on null. **Tasanddeformatsioon saab tekkida kui siirded**

$$u = u(x, y), \quad v = v(x, y), \quad w = 0. \quad (6.1)$$

Selline deformatsiooniseisund tekib pikas kehas, millele mõjub keha pinnaga (z -teljega) ristuv koormus.

Näiteks: pikk tugisein; (metroo)tunnel; pikk radiaalselt surutud vöö; pikad plaadi silindriline paine (NB! Saint Venant'i printsip).

6.3 Tasandpingus

Vaatleme olukorda, kus kõigis keha punktides üks peapingestest on null. Sellisel juhul saame valida Descartes'i ristkoordinaadiid nii, et

$$\sigma_x = \sigma_x(x, y), \quad \sigma_y = \sigma_y(x, y), \quad \tau_{xy} = \tau_{xy}(x, y), \quad \sigma_z = \tau_{xz} = \tau_{yz} = 0. \quad (6.7)$$

Selline pingus tekib näiteks õhukeses plaadis, millele mõjub servades rakendatud koormus, mis on risti z -teljega.

6.4 Tasandülesande lahendamine pingetes

Väga sageli lahendatakse elastsusteooria ülesanded pingetes, sest sellel meetodil on võrreldes siirtes lahendamisega mõned eelised:

- sageli ongi ülesande lahendina vaja leida vaid pingeid, siirded on teisejärgulise tähtsusega ning neid polegi vaja leida;
- üldjuhul on siirte avaldised pingete avaldisega tunduvalt keeruka-mad.

Tundmatud: pingetensori komponendid σ_x, σ_y ja τ_{xy} .

Tasandilisesade lahendamine pingetes lihtsustub ohuliselt kui tund sisse *Airy*' pingefunktsoon $\varphi(x, y)$, mis on seotud pingekomponentidega järgmisel kujul:

$$\sigma_x = \frac{\partial^2 \varphi}{\partial y^2}; \quad \sigma_y = \frac{\partial^2 \varphi}{\partial x^2}; \quad \tau_{yx} = -\frac{\partial^2 \varphi}{\partial x \partial y} - Xy - Yx, \quad (6.15)$$

kus X ja Y on konstantsed mahujõud. Alternatiivne võimalus siduda pingekomponendid ja pingefunktsoon:

$$\sigma_x = \frac{\partial^2 \varphi}{\partial y^2} - Xx; \quad \sigma_y = \frac{\partial^2 \varphi}{\partial x^2} - Yy; \quad \tau_{yx} = -\frac{\partial^2 \varphi}{\partial x \partial y}. \quad (6.16)$$

Nii (6.15) kui (6.16) korral on tasakaaluvõrrandid (6.4) automaatselt rahuldatud. Pannes selliselt defineeritud pingekomponendid pidavustungimuse (6.14) saame *biharmonilise võrrandi*

$$\nabla^2 \left(\frac{\partial^2 \varphi}{\partial x^2} + \frac{\partial^2 \varphi}{\partial y^2} \right) = \nabla^2 (\nabla^2 \varphi) = 0. \quad (6.17)$$

Lahti kirjutatult saab viimane kuju

$$\frac{\partial^4 \varphi}{\partial x^4} + 2 \frac{\partial^4 \varphi}{\partial x^2 \partial y^2} + \frac{\partial^4 \varphi}{\partial y^4} = 0. \quad (6.18)$$

Funktsooni, mis rahuldab biharmonoolist võrrandit (6.17) või (6.18) nimetatakse *biharmoniliseks funktsioniks*.

Tegelikult on pingefunktsooni leidmine mittmel juhul suhteliselt lihtne. Vastavat meetodit võib nimetada *poolvastupidiseks meetodiks*. Selle põhjal antakse pingefunktsoon ette kas polünoomina või trigonomeetrilise reana, mis sisaldavad määramata konstante. Viimased määratakse ülesande lahendamise käigus ääretüringimustele ja biharmonoolise võrrandi abil.

6.5 Bihamoonilise võrrandi lahendamine polünoomides

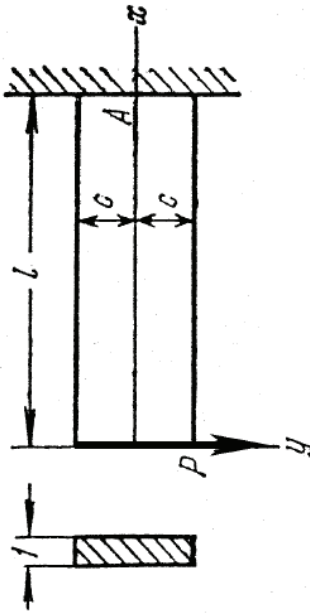
Kui väljendada Airy funksioon polünoomina

$$\varphi = \left(\frac{a_2}{2}x^2 + b_2xy + \frac{c_2}{2}y^2 \right) + \left(\frac{a_3}{3 \cdot 2}x^3 + \frac{b_3}{2}x^2y + \frac{c_3}{2}xy^2 + \frac{d_3}{3 \cdot 2}y^3 \right) + \dots \quad (6.19)$$

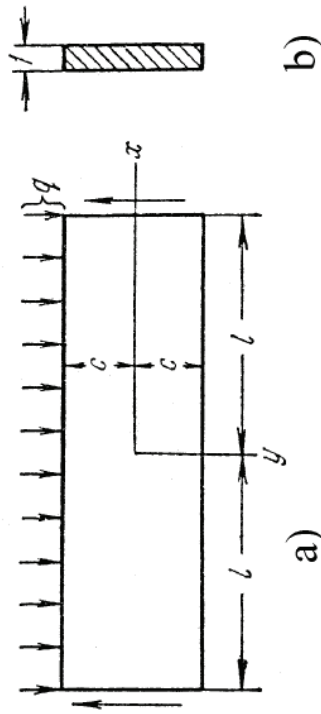
$$+ \left(\frac{a_4}{4 \cdot 3}x^4 + \frac{b_4}{3 \cdot 2}x^3y + \frac{c_4}{2}x^2y^2 + \frac{d_4}{3 \cdot 2}xy^3 + \frac{e_4}{4 \cdot 3}y^4 \right) + \dots$$

saab konstrueerida terve rea tasandülesande lahendusi. Vaadeldav lähenemisviis on rakendatav kui uunitakse ristkülikulisi plaate või talasid. Mahujõud, k.a. keha kaal, hulgane. Käesolevas alajaotuses vaatleme talasid, mille pikkus on l , kõrgus $2c$ ja laius 1. Tala teljeks on x -telg ja y telg on suunatud alla. Kuna lineaarses elastusteoorias kehtib superpositiooni printsip, siis vaatleme algul polünoome kuni 5. astmeni eraldi. Järgmises alajaotuses konstrueerime saadud tulemuste abil erinevaid lahendeid.

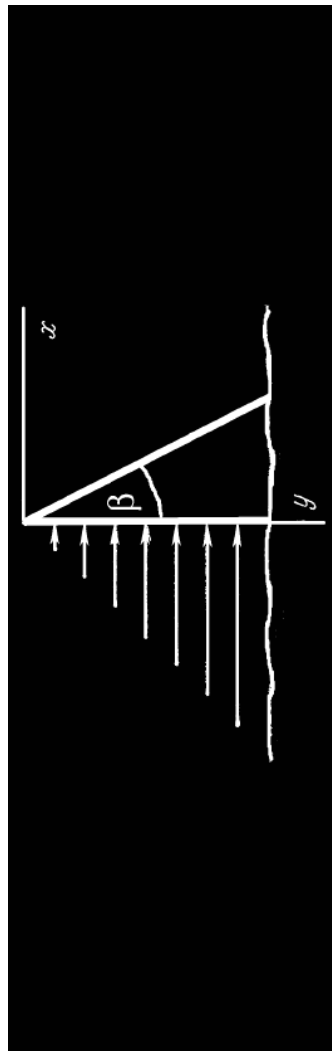
6.6 Konsooli paine



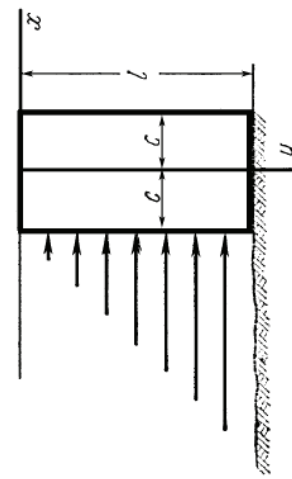
6.7 Ühtlaselt koormatud tala paine



6.8 Hüdrostaatiliselt koormatud tugiseina arvutus.

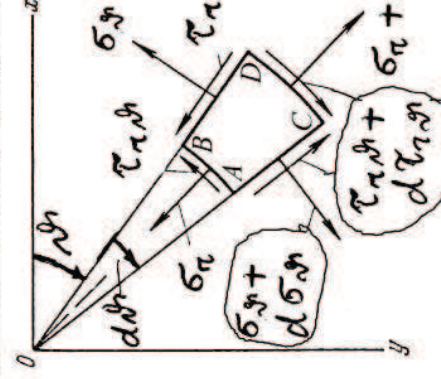


6.9 Hüdrostaatiliselt koormatud vertikaalne konsool



6.10 Tasapinnalised ülesanded polaarkoordinaatides

6.10.1 Tasakaaluõrrandid ja Ainy' pingefunktsioon



Joonis 6.26: Väikese elemendi ABCD tasakaal.

$$\begin{cases} \frac{\partial \sigma_r}{\partial r} + \frac{1}{r} \frac{\partial \tau_{r\theta}}{\partial \theta} + \frac{\sigma_r - \sigma_\theta}{r} + f_r = 0, \\ \frac{1}{r} \frac{\partial \sigma_\theta}{\partial r} + \frac{\partial \tau_{r\theta}}{\partial \theta} + \frac{2\tau_{r\theta}}{r} + f_\theta = 0. \end{cases} \quad (6.91)$$

Sün tähistavad f_r ja f_θ mahujõudude projektsioone radiaal ja tangentsiaal sumale (r ja θ kasvamise suunale).

Ka siin saab mahujõudude puudumisel sisse tuua Airy' pingefunktsiooni $\varphi = \varphi(\vartheta, r)$, nii et

$$\begin{cases} \sigma_r = \frac{1}{r} \frac{\partial \varphi}{\partial r} + \frac{1}{r^2} \frac{\partial^2 \varphi}{\partial \theta^2}, & \sigma_\theta = \frac{\partial^2 \varphi}{\partial r^2}, \\ \tau_{r\theta} = \frac{1}{r^2} \frac{\partial \varphi}{\partial \theta} - \frac{1}{r} \frac{\partial^2 \varphi}{\partial r \partial \theta} = -\frac{\partial}{\partial r} \left(\frac{1}{r} \frac{\partial \varphi}{\partial \theta} \right). \end{cases} \quad (6.92)$$

Niiüd Laplace'i operaator

$$\nabla^2 = \left(\frac{\partial^2}{\partial x^2} + \frac{\partial^2}{\partial y^2} \right) = \left(\frac{\partial^2}{\partial r^2} + \frac{1}{r} \frac{\partial}{\partial r} + \frac{1}{r^2} \frac{\partial^2}{\partial \theta^2} \right) \quad (6.93)$$

ja biharooniline võrrand

$$\nabla^4 \varphi = \left(\frac{\partial^2}{\partial r^2} + \frac{1}{r} \frac{\partial}{\partial r} + \frac{1}{r^2} \frac{\partial^2}{\partial \theta^2} \right)^2 \varphi = 0. \quad (6.94)$$

Kui pingekomponendid ja seega ka φ sõltuvad vaid koordinaadist r , siis saab võrrandi (6.94) üldlahendi esitada kujul

$$\varphi = A \ln r + B r^2 \ln r + C r^2 + D. \quad (6.95)$$

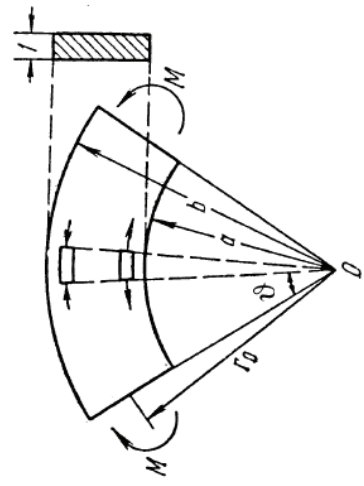
6.10.2 Deformatsioonikomponendid polaarkoordinaatides

$$\begin{cases} \varepsilon_r = \frac{\partial u}{\partial r}, & \varepsilon_\theta = \frac{u}{r} + \frac{1}{r} \frac{\partial v}{\partial \theta}, \\ \gamma_{r\theta} = \frac{1}{r} \frac{\partial u}{\partial \theta} + \frac{\partial v}{\partial r} - \frac{v}{r}. \end{cases} \quad (6.96)$$

Sün mõistetakse suurusti u ja v kui radiaalset ja tangentsiaalset siirdekomponenti. Hooke'i seaduse kuju jäääb endiseks:

$$\varepsilon_r = \frac{1}{E} (\sigma_r - \nu \sigma_\theta), \quad \varepsilon_\theta = \frac{1}{E} (\sigma_\theta - \nu \sigma_r), \quad \gamma_{r\theta} = \frac{\tau_{r\theta}}{G}. \quad (6.97)$$

6.11 Kõvera tala paine

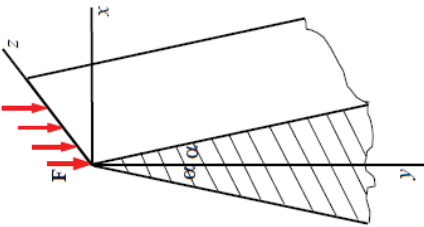


6.12 Pöörlev ketas

6.13 Radiaalne pingus.

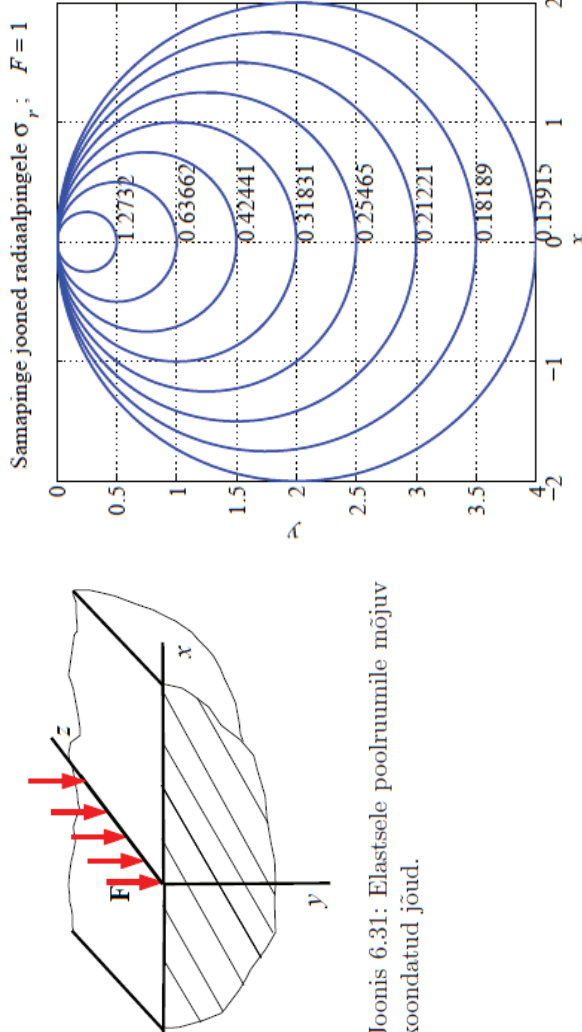
Küllaltki tihti esineb ülesandeid, kus iga keha punktis on nullist erinev vaid radiaalne ping σ_r . Sellist pingust nimetatakse *radiaalseks pinguseks*.

6.14 Kiielu surve.



Joonis 6.20: Sümmetriaaline kil ja tema sümmeetriatasandis möjuv jõud.

6.15 Koondatud jõu möju poolruumile



Sellise graafilise radiaalpingte esituse andis esmakordselt Joseph Boussinesq ning seetõttu nimetatakse neid ringe *Boussinesqi ringideks*.

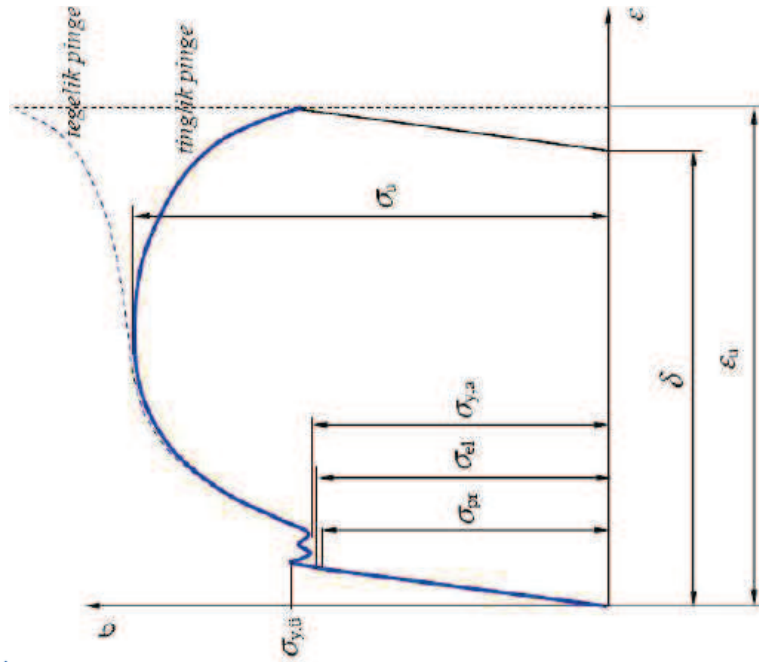
Peatükk 7

Materjalide omadused

Standardtingimustel sooritatud katset nimetatakse teimiks.

7.1 Terase tõmbekatse

7.2 Hallmalmi tõmbekatse



7.3 Haprus, sitkus, plastsus, tugevus

Vastavalt käitumisele enne purunemist, saab välja tunu mitmeid erinevaid materjali omadusi, vt. joonist 7.7, kus on esitatud erineva süsinikusaldusega rauaslamite tõmbediagrammid.

- Haprad² materjalid
 - Haprus — materjali omadus puruneda juba tühise deformatsiooni korral.
- Plastsed³ materjalid
 - Plastsus — materjali omadus omandada olulisi jäækdeformatsioone.
 - Plastsuse määra on tähtis teada näiteks valtsimisel, sepiстamisel⁴, traadi tõmbamisel jne.
 - Mida plastsem on materjal, seda suurem on tema katkevenivus.
 - Katekeahenemine

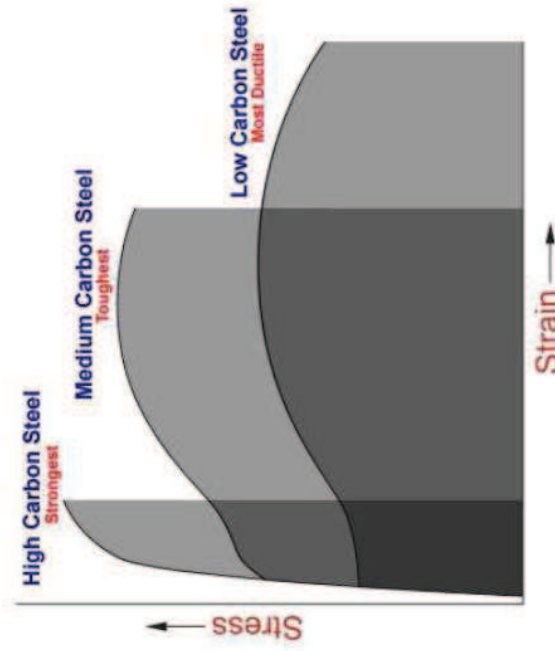
²I. k. *Brittle, brittleness*

³I. k. *Ductile, ductility*

⁴*Ductility* üks võimalikest tõlgetest on sepiстatavus

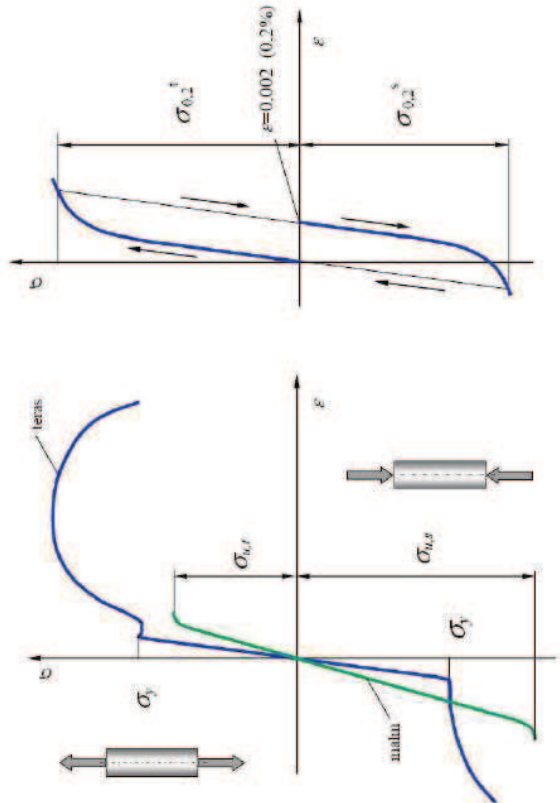
- Sitkused⁵ materjalid
 - Sitkus — materjali omadus enne purunemist oluliselt deformeeruda.
 - Mida sitkem materjal, seda rohkem tööd tuleb teha tema purustamiseks.
 - * Mida sitkem materjal, seda suurem on tema tömbediagrammi aluse pinna pindala.
 - Sitke materjal ei pruugi olla eriti plastne — ta võib olla ka kõrgelastne, näiteks kummi.
 - Tugevus — materjali tugevust iseloomustab tema tömbetugevus.
 - Toodud klassifikatsioon pole täksteis välistav, näiteks on joonisel 7.7 kõige tugevam materjal samal ajal ka kõige hapram.
 - Plastsel sitkel materjalil pole alati võimalik eristada selget voolavuspíini — tinglik voolavuspíir.

⁵I. k. *Tough, toughness*



Joonis 7.7: Erineva süsimäksimalusega rauasulamite tömbediagrammid

7.4 Surveykatsed

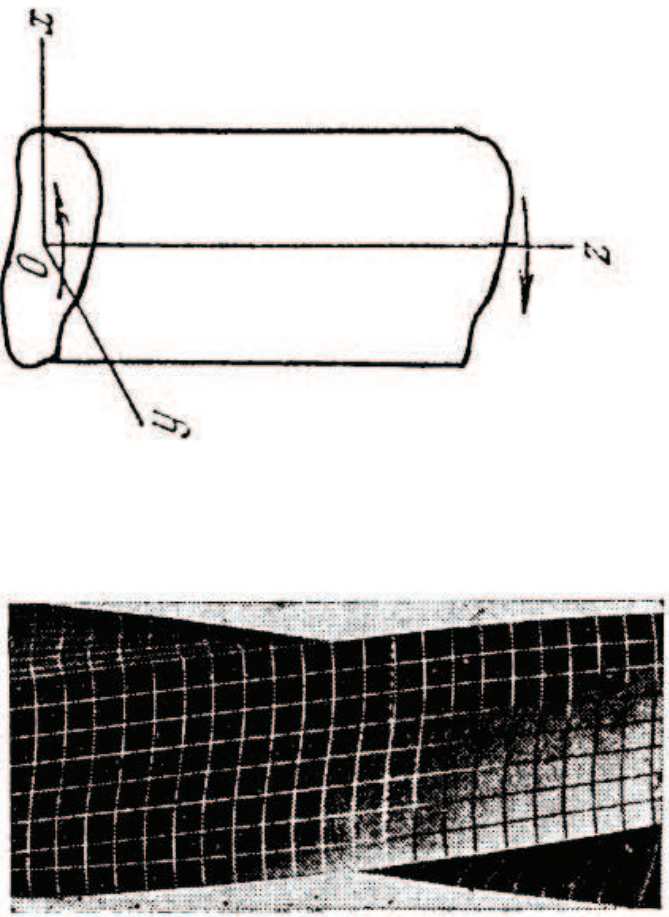


Joonis 7.8: Tõmbe- ja survediagrammide võrdlus (vasakul) ja Bauschingeri efekt (paremal)

Peatükk 8

Sirgete varraste vääne

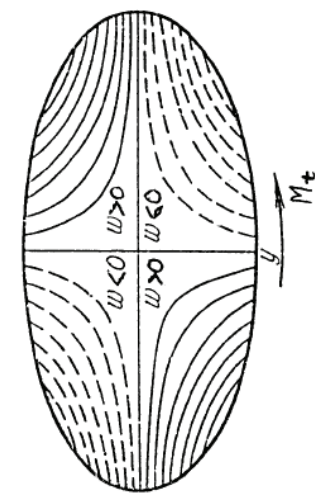
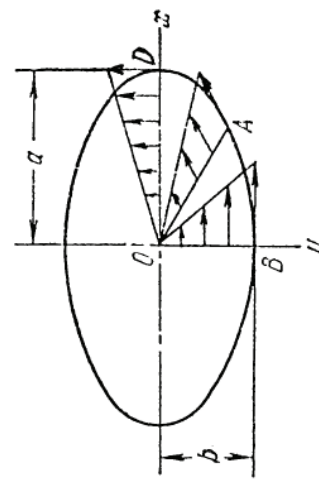
Ümarvarraste väändülesande lahendamisel tehtud hüpotees, et varda ristlöiked jäavad deformatsioonil tasapinnalisteks ei kehti mitteümbarvaraste puhul. Sedá näitavad ilmekalt eksperimentide tulemused. Enim kõverduvad algsed sirged külgede keskosas. Korrektse lahenduse vaadeldavale ülesandele andis Saint-Venant (1855).



Joonis 8.1: Sirge varda vääne.

a)
b)

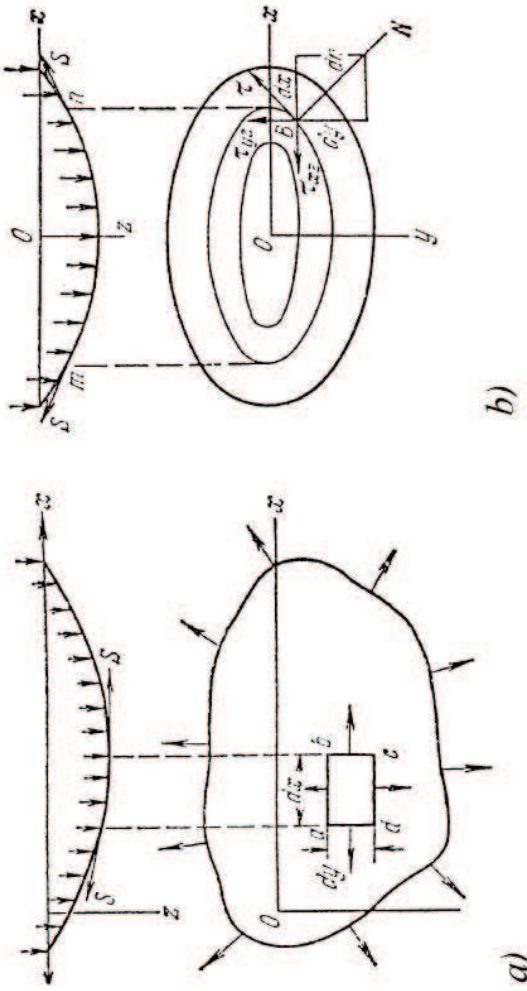
8.2 Elliptiline ristlõige



Samasiirdejooned $w = \text{const.}$

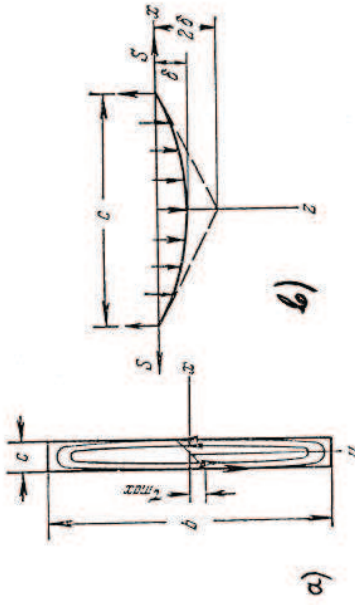
8.3 Membraanaloogia

Nihkepinge -- membraani läbipaine

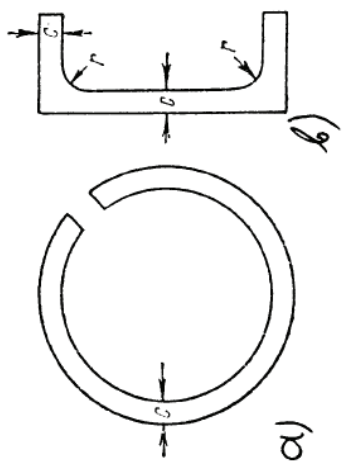


Joonis 8.5: Põikkoormusega koormatid ühtlaselt tömmatud membraan — a); deformeerumind membraani samaläbipainde jooned — b). **NB!** $\tau_{xz} = \tau_{yz}$

8.4 Kitsa ristküliku kujulise ristlõikega varda vääne



Joonis 8.6: Varda ristlõige ja maksimaalsed nihkopinged — a) ja vastava membraanani läbipaine — b).



Joonis 8.7: Õhukesemalised avatud ristlõiked.

- 8.5 Ristkülikule ristlõikega varraste vääne
- 8.6 Valtsmetallist varraste (talade) vääne

Peatükk 9

Kokkuvõtavad märkused

9.1 Jääga keha mehaanika ja elastsusteooria

Sarnased:

- Alamharud: staatika, kinemaatika, dünaamika. Lisaks on mõlemal juhul rakendatavad analüütilise mehaanika meetodid
- Joud ja jõu moment on vektorid!
- Mõlemad, st. nii jäik keha kui deformeeruv keskkond, koosnevad punktmassisest
- Sageli öeldakse deformeeruva keskkonna korral punktmassi asemel materiaalne punkt
- Punktmassiide süsteemile mõjuvad jõud saab jaotada sise- ja välisjõuduks
- Jõusüsteemi peavektor ja peamoment
 - Sisejõud: keha lõikes mõjuvate pingete peavektor ja peamoment
 - Tavaliselt taandatakse pinged lõike pinnakeskmesse

- * Talaade korral on tala ristlõikes mõjuvate sisejõudude projektsioonidel spetsifilised nimed: pikijönd, põikjöud, väändemoment, paindemoment
- * Tavaliselt kasutatakse siinjures Descartes'i ristkoordinaate
- Tasakaalutingimused: Jõusuüsteemi peavektor ja peamoment peavad võrduma nulliga.
- Liikumishulk ja kineetiline moment ning vastavad teoreemid
- Kogu teoria baseerub mõlemal juhul Newtoni seadustel

Erinevused:

- Uurimisobjekt: jäik keha *vs.* deformeeruv keskkond
 - Deformeeruv keskkond: deformeeruv tahkis (tahke keha), gaas, vedilik
- Jäига keha mehaanikas saab jõudu vaadelda kui libisevat vektorit, kuid deformeeruva keskkonna korral ei saa

9.2 Lineaарne ja mittelineaарne elastusteoорia

Lineaарne elastsusteоoria

- Lineaарne elastsusteоoria = klassikeline elastusteoорia
- Siirte ja deformatsioонide vahelised seosed on lineaarsed — geometriline lineaарsus
 - Deformatsioonitensor on defineeritud Cauchy seoste kaudu
 - Deformatsiooni mõduks on tavasiselt suhteline piknenmine ja algse täismurga muut ehk nihkenurk
- Siirded on väikesed vorreldest urritavate kehadе joommõõтmetega
- Deformatsioонid (suhtelised piknenised ja algse täismurga muutused) on väikesed vorreldest ühega, neid saab käsitleda lõpmata väikeste suurustena ja kasutatakse termunit (lõpmata) väikesed deformatsioонid (inglise keeles *infinitesimal strains*)
- Kehtib superpositiooni printsipi

- Tihti nimetatakse seda ka joudude mõju sõltumatuuse printsibiks
 - * Erinevate lahendite summa on alati lähed
- Olekuvõrrandid, st. pingete ja deformatsioonide vahelised seosed, on lineaarsed — füüsikaline lineaarsus
 - (Üldistatud) Hooke'i seadus
 - Analoogiks on nn. ideaalne vedru
 - Ideaalselt elastne keha
 - Alati rakendatakse Saint Venant'i printsipi
 - Tavaliselt rakendatakse Bernoulli hüpoteesi (ristlõigete tasandilisuse hüpoteesi)

Mittelineaarne elastsusteooria

- Siinete ja deformatsioonide vahelised seosed on mittelinearsed — geometriline lineaarsus
 - Kasutusel on erinevad deformatsioonitensorid ja deformatsiooni mõõdud

- Olekuvõrrandid on mittelinearsed — füüsikaline mittelineaarsus
 - Siirded pole väikesed (võrreldes keha mõõtmeteega)
 - Deformatsioonid pole väiksed võrreldes ühega
 - Deformatsioone ei saa käsitleda lõpmata väikeste sunrustena
 - Öeldakse, et deformatsioonid omavad lõplike väärtsusi ja kasutatakse termiit lõplikud deformatsioonid (inglise keeles *finite strains*)
 - Superpositiooni printsip ei kehti!
 - Saint Venant'i printsipi ja Bernoulli hüpotees pole tavaliselt rakendatavad
 - Mittelineaarsele elastsusteoorialle vastavaid võrrandeid ja seoseid käsitleme pidava keskkonna mehaanika kursuses.
- Üldised hüpoteesid, eeldused, seaduspärasused jms., mis on rakendatavad nii lineaarse kui mittelineaarse teoria korral
- Pidlevuse hipotees kehtib alati

- Pragude, tühimlike jms. esinemise korral on vaja rakendada täindavaid hüpoteese ja eeldusi
- Homogeensus ja mittehomogeensus
- Isotroopsus ja anisotroopsus
- Deformeeritakse nn. algolek — piuduvad pinged ja deformatsioonid
- Termilised efektid — termoelastsusteooria — nii lineaarne kui mittelineaarne käsitlus
- Viskoosset efektid — viskoelastus
 - Viskoossus — vedeliku võime deformeerumisel vastu võtta nihke- ja tömbepingeid
 - Mida väiksem on vedeliku viskoossus, seda voolavam ta on
 - Olekuvõrrandid esitavad seosed pingete ja deformatsiooniüriste vahel
 - * Lineaarsed (Newtoni vedelik) ja mittelineaarsed (nn. mitte Newtoni vedelik, i.k. *non-Newtonian fluid*)

- Saab eristada tegelikku ja tinglikku pinget (ehk pseudopinget)
 - Lineaarses teoorias langevad need kaks praktiliselt kokku ja seetõttu neid tavaliselt ei eristata
 - Võrrelge malmi ja terase tömbekatseid

9.3 Lineaarse elastsusteooria jaotamine elementaarteooriaks ja esimest jäärku teoriaks

- Elementaarteooria ehk nn. 0-jäärku teoria — sisaldab täindavaid lihtsustusi
- Nn. 1-jäärku teoria — klassikaline ehk lineaarne elastsusteooria ilma täindavate lihtsustusteta
- Tugevusöpetus — elementaarteooria + tugevusarvutused
 - Tugevusöpetus on mehaanika haru, mis murib konstruktsooniilemmetide piisava tugevuse, jäikuse ja stabiilsuse saavutamist võimalikult ökonoonsel moel.
 - Telmiline mehaanika TTÜ-s — tugevusöpetus + jäigaa keha staatika

Elementaarteooria

- Kehtivad kõik lineaarse elastsusteooria hüpoteesid, eeldused, printsibid, lihtsustused jne.
- Lisaks veel täiendavaid lihtsustusi, mis 1. järgu teoria korral võivad, kuid ei pruugi kehtida
 - Algmõõtnete printsipi
 - Bernoulli hüpotees ehk ristloigete tasapinnalise hüpotees
 - Uurimisobjektiks on peamiselt vardad ja talad
 - jne
- Peamiselt tuntakse huvi vaid varraste (talade) teljepunktide siirete vastu – teiste punktide siirete leidmine ei paku üldjuhul huvi
 - Vaadeldakse tala telge — elastse joone (i.k. deflection curve) diferentsiaalvõrrand — läbipained
- Käesoleva loengukonspekti 2. peatüki on varraste ja talade pingete analüüs teostatud elementaarteooriast lähtudes

9.4 Olekuvõranditest

Olekuvõrandid esitavad tahkiste korral seosid pingete ja deformatsioonide vahel, (viskoossete) vedelike korral aga pingete ja deformatsioonikiiruste vahel.

Elastse keha lineaarne olekuvõrand — Hooke'i seadus

- Ideaalselt elastne, homogeemne, isotroopne materjal
 - Kaks sõltumatut elastsuskonstanti
 - * Youngi modul, Poissoni tegur, mihkeelastsumoodul — valida kaks kohmest
 - * Lamé koefitsendid
 - * Ruumdeformatsioon — ruumpaisumismoodul
- Anisotroopne materjal — iga juht vajab individuaalset (eksperimentaalsest) lähenemist
 - Tähitis on teada materjalide sümmeetriat, näiteks ortotroopne materjal

9.5 Deformatsioon ja pinge

- Deformatsioon iseloomustab keha (keskkonna) mõõtmete ja kuju muutuse intensiivsust vaadeldavas punktis
- Pinge iseloomustab sisejõudude intensiivsust vaadeldavat punkti läbival pinnal
 - Deformatsiooniseisund — iseloomustab deformatsioone vaadeldavas punktis — kirjeldakse deformatsioonitensori abil
 - Pingeseisund ehk pingus — iseloomustab pingeid vaadeldavas punktis — kirjeldakse pingetensori abil
 - Peapinged ja peadeformatsioonid
- Ruum-, tasand- ja joonpingus
- Ruum-, tasand- ja joondeformatsioon
 - Tasandpingusele vastab ruumdeformatsioon ja vastupidi

9.6 Tugevuskriteeriumid ja varutegur

9.7 Dünaamilised koormused